

# ИМПУЛЬСНЫЙ МОДУЛЯТОРНЫЙ ДВОЙНОЙ ЛУЧЕВОЙ ТЕТРОД

## DOUBLE BEAM-POWER TETRODE

ГМИ-6-1

Импульсный модуляторный двойной лучевой тетрод ГМИ-6-1 предназначен для коммутирования импульсной мощности до 14 кВт в импульсных модуляторах радиотехнических устройств.

### ОБЩИЕ СВЕДЕНИЯ

Катод – оксидный косвенного накала.

Оформление – стеклянное.

Высота не более 93 мм.

Диаметр не более 48 мм.

Масса не более 70 г.

The ГМИ-6-1 double beam-power tetrode is used for switching pulse power up to 14 kW in pulse modulators in RF equipment.

### GENERAL

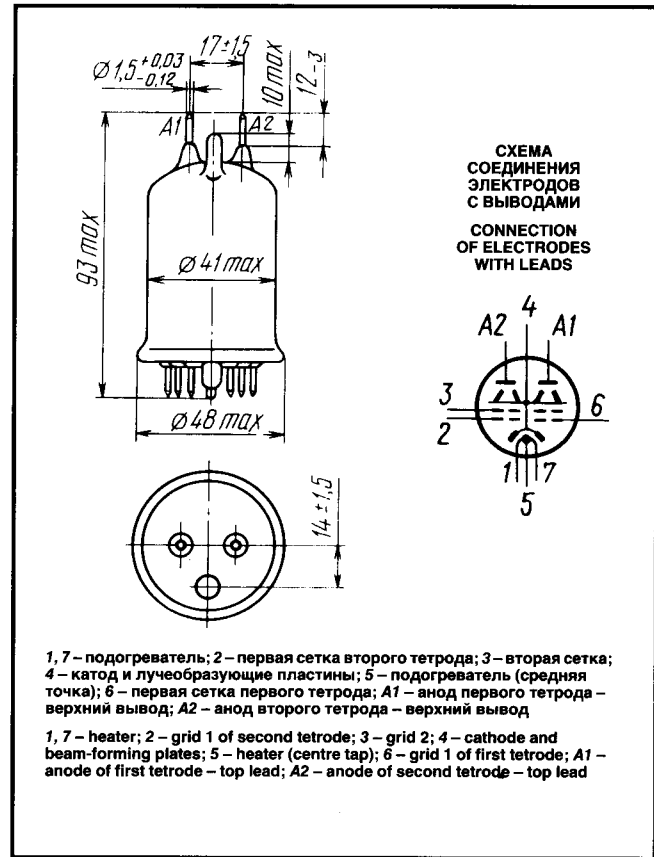
Cathode: indirectly heated, oxide-coated.

Envelope: glass.

Height: at most 93 mm.

Diameter: at most 48 mm.

Mass: at most 70 g.



### ДОПУСТИМЫЕ ВОЗДЕЙСТВУЮЩИЕ ФАКТОРЫ ПРИ ЭКСПЛУАТАЦИИ

#### Вибрационные нагрузки:

диапазон частот, Гц . . . . .	50–600
ускорение (при кратковременном воздействии не более 15 мин), м/с <sup>2</sup> . . . . .	98
диапазон частот, Гц . . . . .	600–2500
ускорение, м/с <sup>2</sup> . . . . .	118
Нагрузки с ускорением, м/с <sup>2</sup> :	
многократные ударные . . . . .	343
одиночные ударные . . . . .	980
линейные . . . . .	343
Наименьшая температура окружающей среды, °C, не более . . . . .	-60
Относительная влажность воздуха при температуре до +40 °C, % . . . . .	98

### ОСНОВНЫЕ ТЕХНИЧЕСКИЕ ДАННЫЕ Электрические параметры

Напряжение накала, В . . . . .	12,6
Ток накала, А . . . . .	1,1–1,3
Ток анода в импульсе, А . . . . .	8–10,5
Ток второй сетки в импульсе, А, не более . . . . .	3,5
Ток первой сетки в импульсе, А, не более . . . . .	3
Напряжение запирания отрицательное, В . . . . .	70–12
Межэлектродные емкости, пФ:	
входная . . . . .	11–18
выходная . . . . .	4,2–6,2
проходная, не более . . . . .	0,2

### OPERATING ENVIRONMENTAL CONDITIONS

#### Vibration loads:

frequencies, Hz . . . . .	50–600
acceleration at short-time effects (not over 15 min), m/s <sup>2</sup> . . . . .	98
frequencies, Hz . . . . .	600–2,500
acceleration, m/s <sup>2</sup> . . . . .	118
Multiple impacts with acceleration, m/s <sup>2</sup> . . . . .	343
Single impacts with acceleration, m/s <sup>2</sup> . . . . .	980
Linear loads with acceleration, m/s <sup>2</sup> . . . . .	343
Ambient temperature (lower limit), °C . . . . .	-60
Relative humidity at +40 °C, % . . . . .	98

### BASIC DATA Electrical Parameters

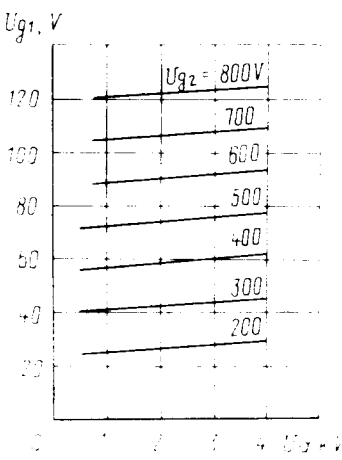
Heater voltage, V . . . . .	12,6
Heater current, A . . . . .	1,1–1,3
Peak anode current, A . . . . .	8–10,5
Peak grid 2 current, A, at most . . . . .	3,5
Peak grid 1 current, A, at most . . . . .	3
Negative cutoff voltage, V . . . . .	70–12
Interelectrode capacitance, pF:	
input . . . . .	11–18
output . . . . .	4,2–6,2
transfer, at most . . . . .	0,2

# ГМИ-6-1

## ИМПУЛЬСНЫЙ МОДУЛЯТОРНЫЙ ДВОЙНОЙ ЛУЧЕВОЙ ТЕТРОД DOUBLE BEAM-POWER TETRODE

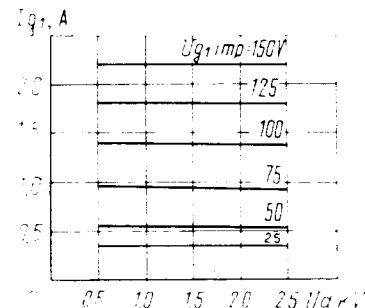
### Максимальные предельно допустимые эксплуатационные данные

Напряжение накала, В:		Limit Operating Values
при параллельном включении . . . . .	5,7–7	Heater voltage, V:
при последовательном включении . . . . .	11,4–14	with parallel connection . . . . .     5,7–7
Напряжение анода, кВ:		with series connection . . . . .     11,4–14
при включении напряжения анода		Anode voltage, kV:
через 15 с после подачи напряжения		with anode voltage switched on 15 s
накала . . . . .	3	after application of heater voltage . . . . .     3
при включении напряжения анода		with anode voltage switched on
не ранее, чем через 50 с после		not earlier than 50 s after application
подачи напряжения накала . . . . .	4	of heater voltage . . . . .     4
Напряжение первой сетки отрицательное, В . . . . .	200	Negative grid 1 voltage, V . . . . .     200
Напряжение второй сетки, В . . . . .	800	Grid 2 voltage, V . . . . .     800
Напряжение превышения первой сетки		Peak grid 1 excess voltage, V . . . . .     150
в импульсе, В . . . . .	150	Peak cathode current (both tetrodes), A . . . . .     15
Ток катода в импульсе (на оба тетрода), А . . . . .	15	Dissipation, W:
Рассеиваемая мощность, Вт:		anode (both tetrodes) . . . . .     15
анодом (на оба тетрода) . . . . .	15	grid 2 (both tetrodes) . . . . .     3
второй сеткой (на оба тетрода) . . . . .	3	grid 1 (both tetrodes) . . . . .     1
первой сеткой (на оба тетрода) . . . . .	1	Pulse duration, $\mu$ s . . . . .     10
Длительность импульса, мкс . . . . .	10	Envelope temperature, °C . . . . .     260
Температура оболочки, °C . . . . .	260	



Характеристики зависимости напряжения запирания от напряжения анода и второй сетки:  
 $U_t = 12,6$  В;  $I_a = 0,2$  мА;

Characteristic Curves Showing Cutoff Voltage versus Anode and Grid 2 Voltages:  $U_t = 12.6$  V;  $I_a = 0.2$  mA



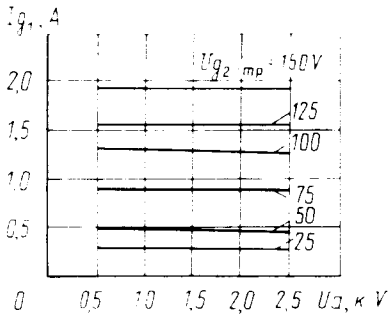
Усредненные импульсные сеточно-анодные характеристики (по первой сетке):  $U_t = 12,6$  В;  
 $U_{g2} = 500$  В

Averaged Peak Grid 1-Anode Characteristic Curves;  
 $U_t = 12.6$  V;  $U_{g2} = 500$  V

# ИМПУЛЬСНЫЙ МОДУЛЯТОРНЫЙ ДВОЙНОЙ ЛУЧЕВОЙ ТЕТРОД

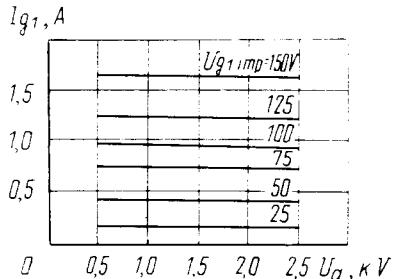
## DOUBLE BEAM-POWER TETRODE

ГМИ-6-1



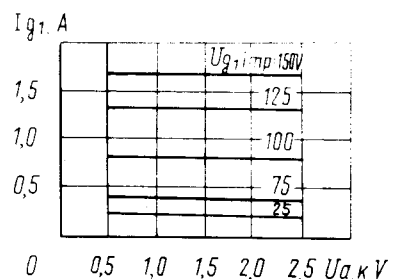
Усредненные импульсные сеточно-анодные характеристики (по сетке первой):  $U_t = 12,6 \text{ В}$ ;  $U_{g2} = 600 \text{ В}$

Averaged Peak Grid 1-Anode Characteristic Curves:  
 $U_t = 12.6 \text{ V}$ ;  $U_{g2} = 600 \text{ V}$



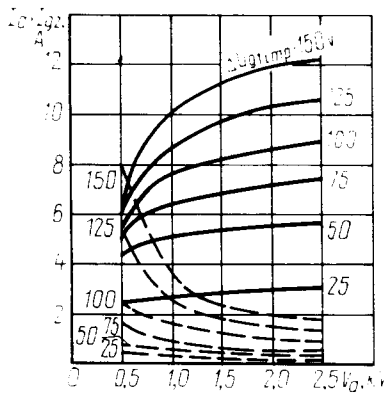
Усредненные импульсные сеточно-анодные характеристики (по сетке первой):  $U_t = 12,6 \text{ В}$ ;  $U_{g2} = 700 \text{ В}$

Averaged Peak Grid 1-Anode Characteristic Curves:  
 $U_t = 12.6 \text{ V}$ ;  $U_{g2} = 700 \text{ V}$



Усредненные импульсные сеточно-анодные характеристики (по сетке второй):  $U_t = 12,6 \text{ В}$ ;  $U_{g2} = 800 \text{ В}$

Averaged Peak Grid 1-Anode Characteristic Curves:  
 $U_t = 12.6 \text{ V}$ ;  $U_{g2} = 800 \text{ V}$

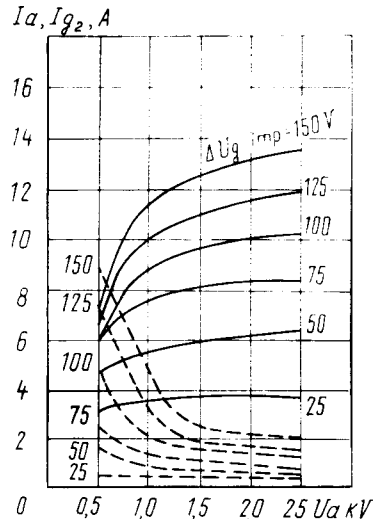


Усредненные импульсные характеристики:  
 $U_t = 12,6 \text{ В}$ ;  $U_{g2} = 500 \text{ В}$   
анодные;  
сеточно-анодные (по второй сетке)

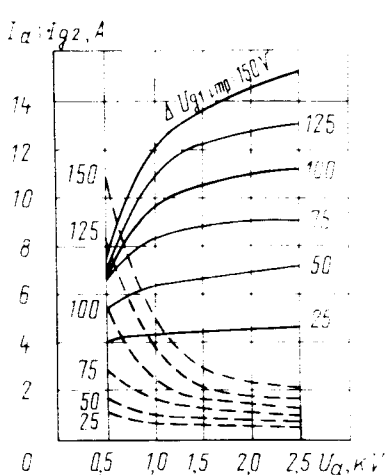
Averaged Peak Characteristic Curves:  
 $U_t = 12.6 \text{ V}$ ;  $U_{g2} = 500 \text{ V}$ ;  
— anode;  
- - - grid 2-anode

Усредненные импульсные характеристики:  
 $U_t = 12,6 \text{ В}$ ;  $U_{g2} = 600 \text{ В}$   
анодные;  
сеточно-анодные (по второй сетке)

Averaged Peak Characteristic Curves:  
 $U_t = 12.6 \text{ V}$ ;  $U_{g2} = 600 \text{ V}$ ;  
— anode;  
- - - grid 2-anode



Ia, Ig2, A



Усредненные импульсные характеристики:  
 $U_t = 12,6 \text{ В}$ ;  $U_{g2} = 700 \text{ В}$ ;  
анодные;  
сеточно-анодные (по сетке второй)

Averaged Peak Characteristic Curves:  
 $U_t = 12.6 \text{ V}$ ;  $U_{g2} = 700 \text{ V}$ ;  
— anode;  
- - - grid 2-anode

Усредненные импульсные характеристики:  
 $U_t = 12,6 \text{ В}$ ;  $U_{g2} = 800 \text{ В}$   
анодные;  
сеточно-анодные (по сетке второй)

Averaged Peak Characteristic Curves:  
 $U_t = 12.6 \text{ V}$ ;  $U_{g2} = 800 \text{ V}$ ;  
— anode;  
- - - grid 2-anode

